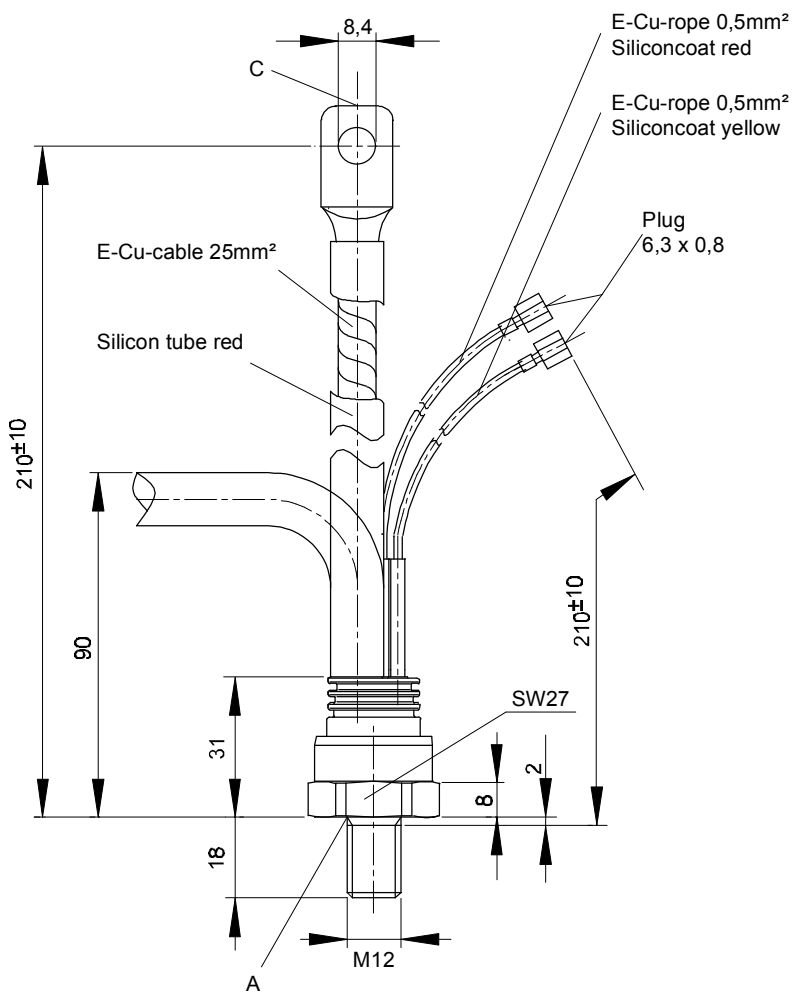


European Power-  
Semiconductor and  
Electronics Company

## Marketing Information T 210 N



# T 210 N

|   |   |  |                     |  |
|---|---|--|---------------------|--|
| <b>Elektrische Eigenschaften</b>                        |   |  |                     |  |
| <b>Höchstzulässige Werte</b>                            |   |  |                     |  |
| Periodische Vorwärts- und Rückwärts-Spitzenperrspannung | <b>Electrical properties</b><br><b>Maximum rated values</b> |  |                     |  |
| Vorwärts-Stoßspitzenperrspannung                        | repetitive peak forward off-state and reverse voltages      | $t_{vj} = -40^{\circ}\text{C} \dots t_{vj\ max}$   | $V_{DRM}, V_{RRM}$  | 200 400 600 V                                      |
| Rückwärts-Stoßspitzenperrspannung                       | non-repetitive peak forward off-state voltage               | $t_{vj} = -40^{\circ}\text{C} \dots t_{vj\ max}$   | $V_{DSM} = V_{DRM}$ | 200 400 600 V                                      |
| Durchlaßstrom-Grenzeffektivwert                         | RMS on-state current  |  | $I_{TRMSM}$         | 330 A  |
| Dauergrenzstrom   | average on-state current                                    | $t_c = 100^{\circ}\text{C}$  | $I_{TAVM}$          | 210 A  |
| Stoßstrom-Grenzwert                                     | surge current   | $t_{vj} = 45^{\circ}\text{C}, t_p = 10 \text{ ms}$   | $I_{TSM}$           | 6300 A   |
| Grenzlastintegral                                       | $I^2 t$ -value  | $t_{vj} = t_{vj\ max}, t_p = 10 \text{ ms}$<br>$t_{vj} = 45^{\circ}\text{C}, t_p = 10 \text{ ms}$<br>$t_{vj} = t_{vj\ max}, t_p = 10 \text{ ms}$ | $I^2 t$             | 198000 A <sup>2</sup> s<br>151000 A <sup>2</sup> s |
| Kritische Stromsteilheit                                | critical rate of rise of on-state current                   | $v_D \leq 67\%, V_{DRM}, f = 50 \text{ Hz}$  | $(di/dt)_{cr}$      | 200 A/ $\mu$ s                                     |
| Kritische Spannungssteilheit                            | critical rate of rise of off-state voltage                  | $v_L = 10 \text{ V}, i_{GM} = 0.75 \text{ A}, di_G/dt = 0.75 \text{ A}/\mu\text{s}$<br>5.Kennbuchstabe/5th letter C                              | $(dv/dt)_{cr}$      | 400 V/ $\mu$ s                                     |
|   |   | 5.Kennbuchstabe/5th letter F   |                     | 1000 V/ $\mu$ s                                    |
| <b>Charakteristische Werte</b>                          |   |  |                     |  |
| Durchlaßspannung  | <b>Characteristic values</b>                                |  |                     |  |
| Schleusenspannung                                       | on-state voltage  | $t_{vj} = t_{vj\ max}, i_T = 600 \text{ A}$  | $V_T$               | max. 1,4 V   |
| Ersatzwiderstand  | threshold voltage   | $t_{vj} = t_{vj\ max}$   | $V_{T(TO)}$         | 0,8 V  |
| Zündstrom   | slope resistance  | $t_{vj} = t_{vj\ max}$   | $r_T$               | 0,85 m $\Omega$                                    |
| Zündspannung  | gate trigger current  | $t_{vj} = 25^{\circ}\text{C}, v_D = 6 \text{ V}$   | $I_{GT}$            | max. 150 mA  |
| Nicht zündender Steuerstrom                             | gate trigger voltage  | $t_{vj} = 25^{\circ}\text{C}, v_D = 6 \text{ V}$   | $V_{GT}$            | max. 1,4 V   |
| Nicht zündende Steuerspannung                           | gate non-trigger current                                    | $t_{vj} = t_{vj\ max}, v_D = 6 \text{ V}$  | $I_{GD}$            | max. 5 mA  |
| Haltestrom  | gate non-trigger voltage                                    | $t_{vj} = t_{vj\ max}, v_D = 0.5 V_{DRM}$  | $V_{GD}$            | max. 0,2 V   |
| Einraststrom  | holding current   | $t_{vj} = 25^{\circ}\text{C}, v_D = 6 \text{ V}, R_A = 5 \Omega$   | $I_H$               | max. 200 mA  |
| Vorwärts- und Rückwärts-Sperrstrom                      | latching current  | $t_{vj} = 25^{\circ}\text{C}, v_D = 6 \text{ V}, R_{GK} \geq 10 \Omega$  | $I_L$               | max. 620 mA  |
| Zündverzug  | forward off-state and reverse currents                      | $i_{GM} = 0.75 \text{ A}, di_G/dt = 0.75 \text{ A}/\mu\text{s}, t_g = 20 \mu\text{s}$  |                     | max. 30 mA   |
| Freiwerdezeit   | gate controlled delay time                                  | $t_{vj} = t_{vj\ max}, v_D = V_{DRM}, v_R = V_{RRM}$   | $i_D, i_R$          | max. 4,5 $\mu$ s                                   |
|   | circuit commutated turn-off time                            | $t_{vj} = 25^{\circ}\text{C}, i_{GM} = 0.75 \text{ A}, di_G/dt = 0.75 \text{ A}/\mu\text{s}$   | $t_{gd}$            | typ. 200 $\mu$ s                                   |
|   |   | $t_{vj} = t_{vj\ max}, i_{TM} = I_{TAVM}$  | $t_q$               |  |
|   |   | $v_{RM} = 100 \text{ V}, v_{DM} = 0.67 V_{DRM}$  |                     |  |
|   |   | $dv_D/dt = 20 \text{ V}/\mu\text{s}, -di_T/dt = 10 \text{ A}/\mu\text{s}$  |                     |  |
|   |   | 4. Kennbuchstabe / 4th letter O  |                     |  |
| <b>Thermische Eigenschaften</b>                         |   |  |                     |  |
| Innerer Wärmewiderstand                                 | <b>Thermal properties</b>                                   |  |                     |  |
| Höchstzul.Sperrsichttemperatur                          | thermal resistance, junction to case                        | $\Theta = 180^{\circ} \text{ el, sin DC}$  | $R_{thJC}$          | max. 0,15 °C/W                                     |
| Betriebstemperatur                                      | max. junction temperature                                   |  |                     | max. 0,14 °C/W                                     |
| Lagertemperatur   | operating temperature                                       |  |                     | 140 °C   |
|   | storage temperature   |  |                     | -40...+140 °C                                      |
|   |   |  |                     | -40...+150 °C                                      |
| <b>Mechanische Eigenschaften</b>                        |   |  |                     |  |
| Si-Elemente mit Druckkontakt                            | <b>Mechanical properties</b>                                |  |                     |  |
| Anzugsdrehmoment  | Si-pellet with pressure contact                             |  |                     |  |
| Gewicht   | tightening torque   | Gehäuseform/case design B  | M                   | 20...30 Nm   |
| Kriechstrecke   | weight  |  | G                   | typ. 190 g   |
| Feuchteklass  | creepage distance   |  |                     | 8 mm   |
| Schwingfestigkeit                                       | humidity classification                                     | DIN 40040  |                     | C  |
| Maßbild   | vibration resistance  | f = 50 Hz  |                     | 50 m/s <sup>2</sup>                                |
|   | outline   | DIN 41 892-204B3/TO 94/TO 93   |                     | Titelseite / Front page                            |

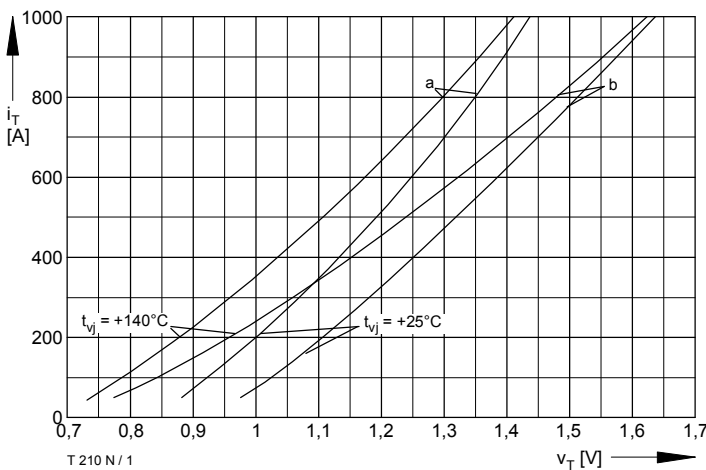


Bild / Fig. 1

Durchlaßkennlinien / On-state characteristics  $i_T = f(v_T)$ 

- a - Typische Kennlinien / Typical characteristics  
b - Grenzkennlinien / Limiting characteristics

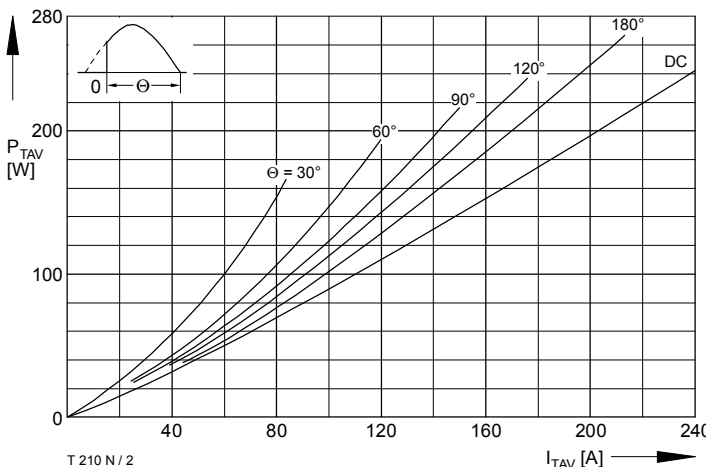


Bild / Fig. 2

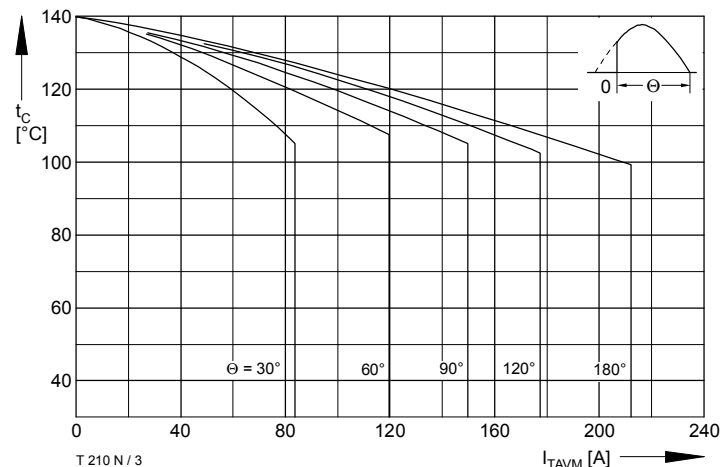
Durchlaßverlustleistung / On-state power loss  $P_{TAV} = f(I_{TAV})$ Parameter: Stromflußwinkel / Current conduction angle  $\theta$ 

Bild / Fig. 3

Höchstzulässige Gehäusetemperatur / Maximum allowable case temperature

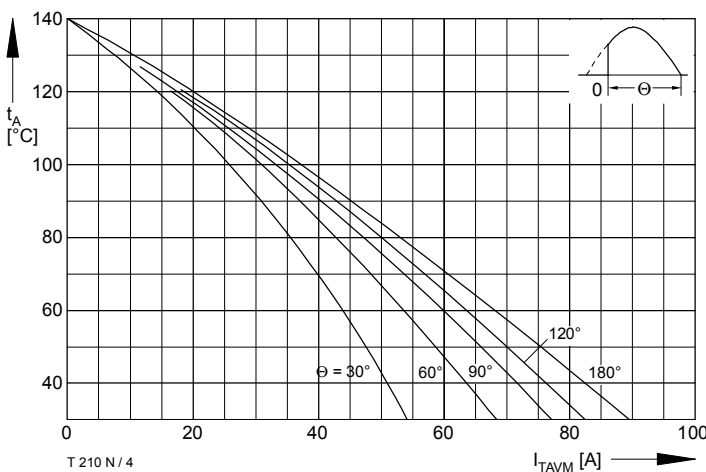
 $t_c = f(I_{TAVM})$ 

Bild / Fig. 4

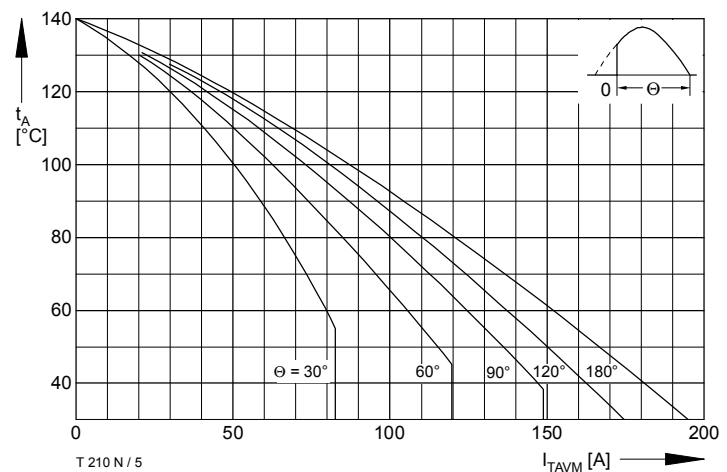
Höchstzulässige Kühlmitteltemperatur / Maximum allowable cooling medium temperature  $t_A = f(I_{TAVM})$ Luftselbstkühlung / Natural air-cooling  
Kühlkörper / Heatsink: KL42

Bild / Fig. 5

Höchstzulässige Kühlmitteltemperatur / Maximum allowable cooling medium temperature  $t_A = f(I_{TAVM})$ Verstärkte Luftkühlung / Forced air-cooling  
Kühlkörper / Heatsink: KL42

T 210 N

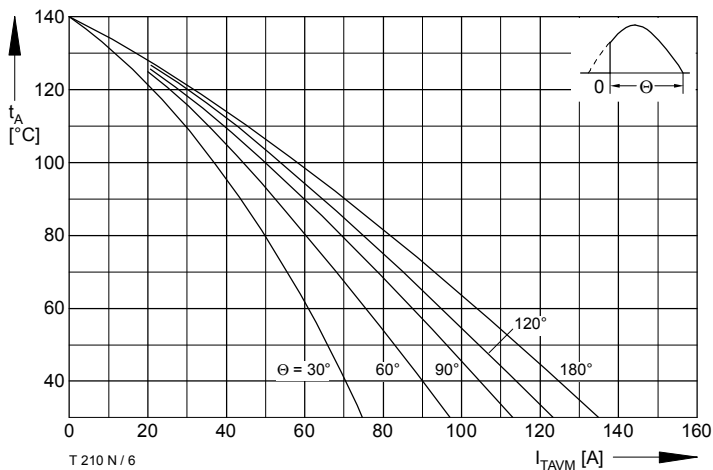


Bild / Fig. 6

Höchstzulässige Kühlmitteltemperatur / Maximum allowable cooling medium temperature  $t_A = f(I_{TAVM})$   
Luftselbstkühlung / Natural air-cooling  
Kühlkörper / Heatsink: KL91

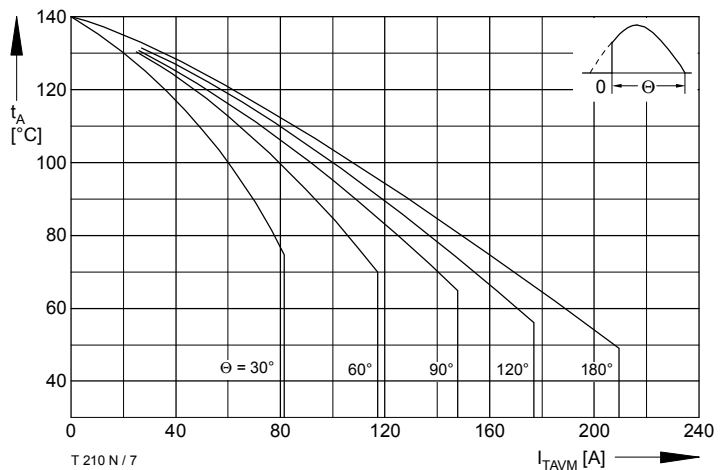


Bild / Fig. 7

Höchstzulässige Kühlmitteltemperatur / Maximum allowable cooling medium temperature  $t_A = f(I_{TAVM})$   
Verstärkte Luftkühlung / Forced air-cooling  
Kühlkörper / Heatsink: KL91

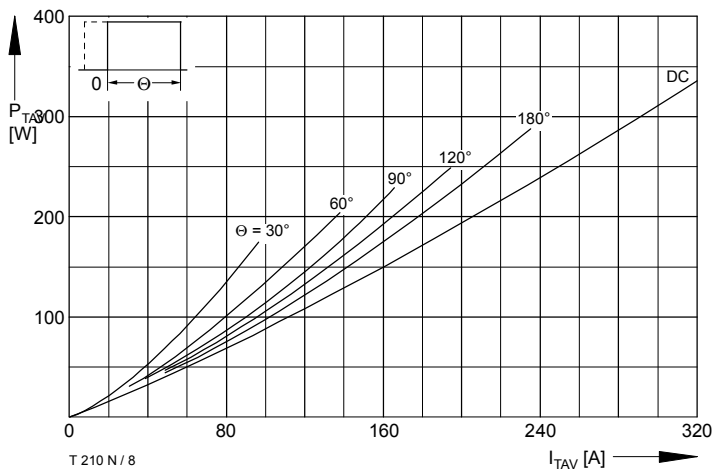


Bild / Fig. 8

Durchlaßverlustleistung / On-state power loss  $P_{TAV} = f(I_{TAV})$   
Parameter: Stromflußwinkel / Current conduction angle  $\theta$

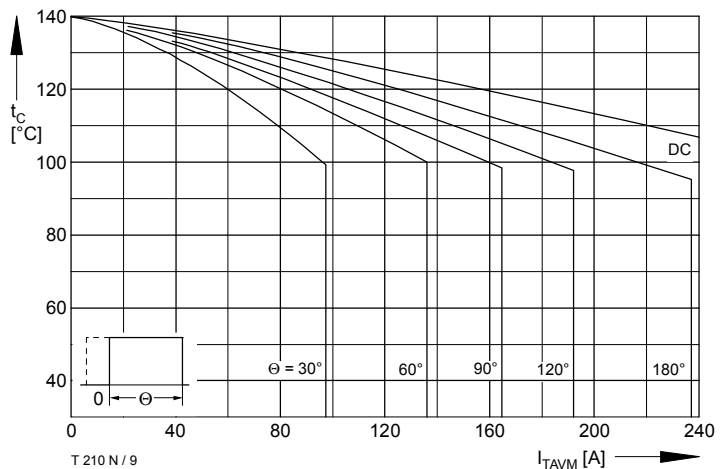


Bild / Fig. 9

Höchstzulässige Gehäusetemperatur / Maximum allowable case temperature  $t_c = f(I_{TAVM})$

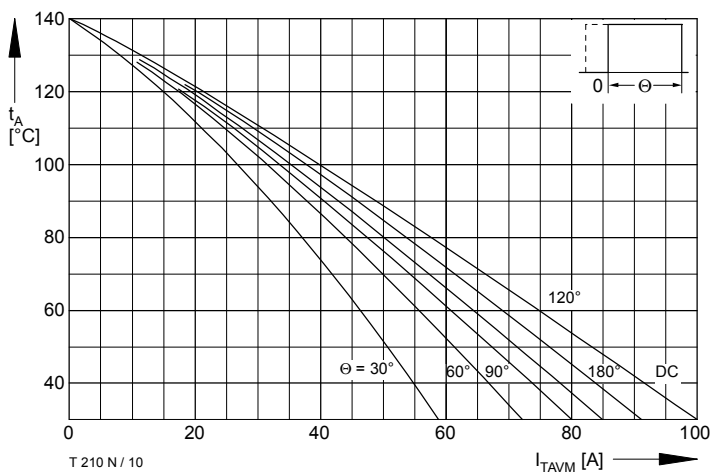


Bild / Fig. 10

Höchstzulässige Kühlmitteltemperatur / Maximum allowable cooling medium temperature  $t_A = f(I_{TAVM})$   
Luftselbstkühlung / Natural air-cooling  
Kühlkörper / Heatsink: KL42

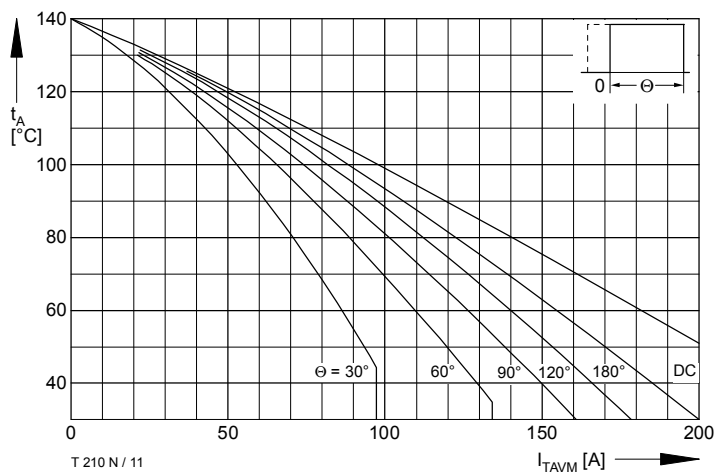


Bild / Fig. 11

Höchstzulässige Kühlmitteltemperatur / Maximum allowable cooling medium temperature  $t_A = f(I_{TAVM})$   
Verstärkte Luftkühlung / Forced air-cooling  
Kühlkörper / Heatsink: KL42

T 210 N

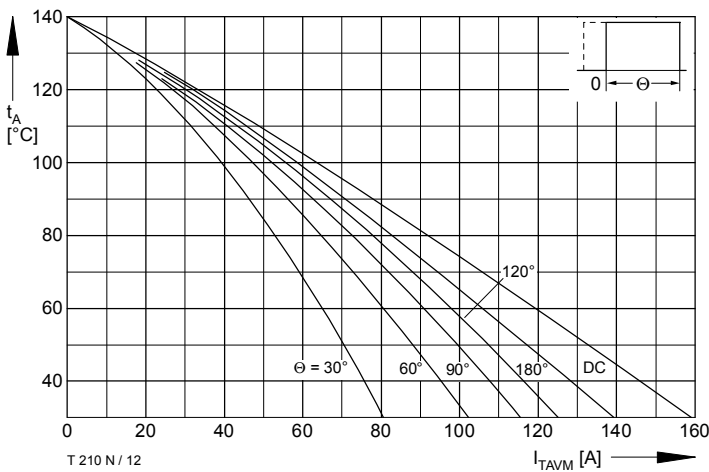


Bild / Fig. 12

Höchstzulässige Kühlmitteltemperatur / Maximum allowable cooling medium temperature  $t_A = f(I_{TAVM})$   
Luftselbstkühlung / Natural air-cooling  
Kühlkörper / Heatsink: KL91

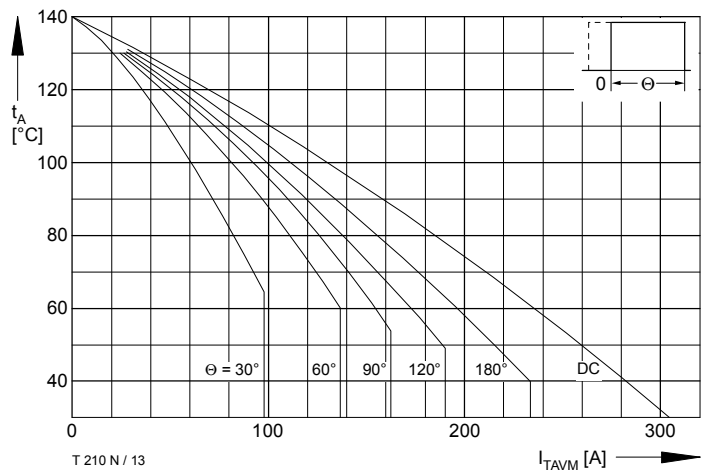


Bild / Fig. 13

Höchstzulässige Kühlmitteltemperatur / Maximum allowable cooling medium temperature  $t_A = f(I_{TAVM})$   
Verstärkte Luftkühlung / Forced air-cooling  
Kühlkörper / Heatsink: KL91

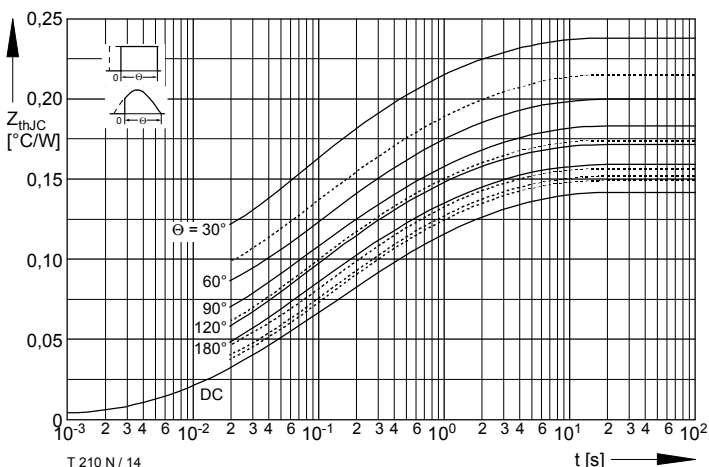


Bild / Fig. 14

Transienter innerer Wärmewiderstand bei sinus- und rechteckförmigem Stromverlauf /  
Transient thermal impedance, junction to case at sinusoidal and square wave current  $Z_{thJC} = f(t)$

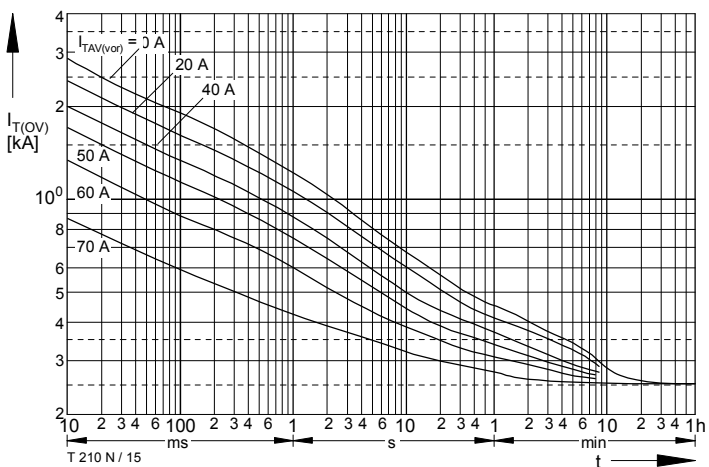


Bild / Fig. 15

Überstrom / Overload on-state current  $I_{T(OV)} = f(t)$   
Luftselbstkühlung / Natural air cooling,  $t_A = 45^\circ\text{C}$   
Kühlkörper / Heatsink: KL42  
Parameter: Vorlaststrom / Pre-load current  $I_{TAV(vor)}$

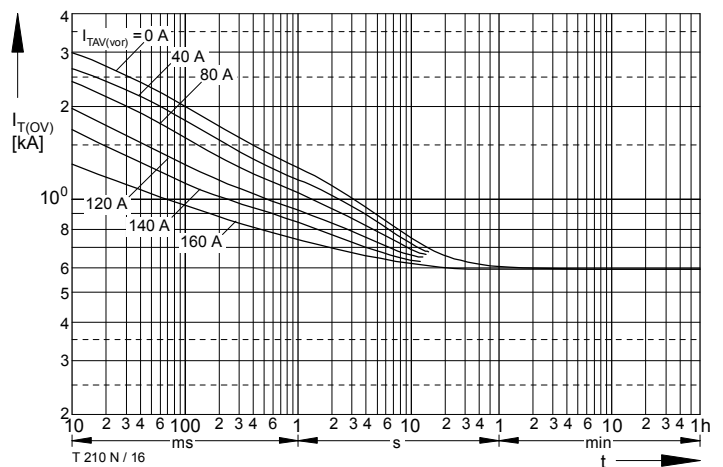


Bild / Fig. 16

Überstrom / Overload on-state current  $I_{T(OV)} = f(t)$   
Verstärkte Luftkühlung / Forced air-cooling,  $t_A = 35^\circ\text{C}$   
Kühlkörper / Heatsink: KL42,  $v_L = 50 \text{ l/s}$   
Parameter: Vorlaststrom / Pre-load current  $I_{TAV(vor)}$

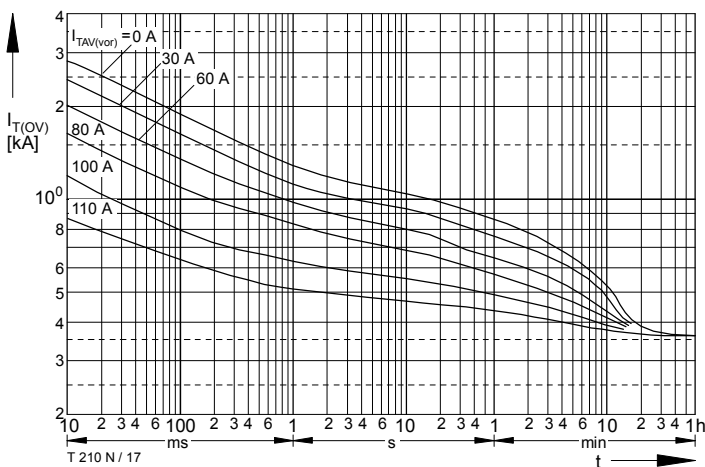


Bild / Fig. 17

Überstrom / Overload on-state current  $I_{T(OV)} = f(t)$ Luftselbstkühlung / Natural air cooling,  $t_A = 45^\circ\text{C}$ 

Kühlkörper / Heatsink: KL91

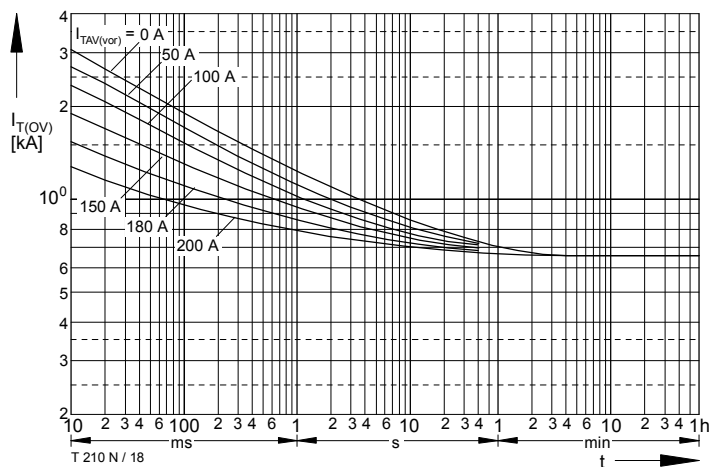
Parameter: Vorlaststrom / Pre-load current  $I_{TAV(vor)}$ 

Bild / Fig. 18

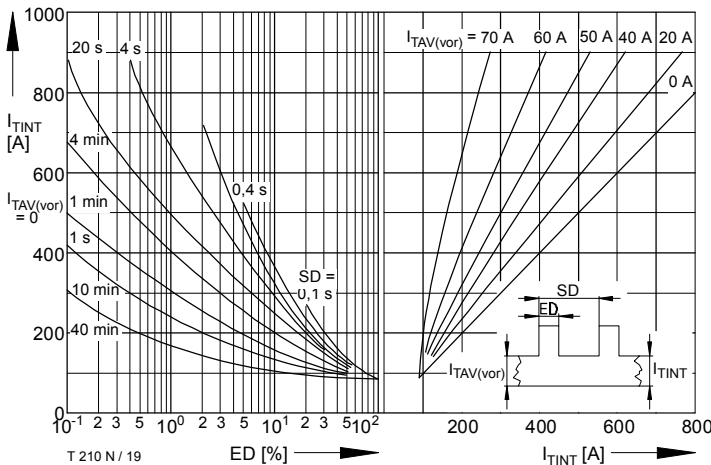
Überstrom / Overload on-state current  $I_{T(OV)} = f(t)$ Verstärkte Luftkühlung / Forced air-cooling,  $t_A = 35^\circ\text{C}$ Kühlkörper / Heatsink: KL91,  $v_L = 50 \text{ l/s}$ Parameter: Vorlaststrom / Pre-load current  $I_{TAV(vor)}$ 

Bild / Fig. 19

Höchstzulässiger Durchlaßstrom bei Aussetzbetrieb /

Max. allowable on-state current at intermittent operation  $I_{TINT} = f(ED)$ Luftselbstkühlung / Natural air cooling,  $t_A = 45^\circ\text{C}$ 

Kühlkörper / Heatsink: KL42

Parameter: Spieldauer / Cycle duration SD

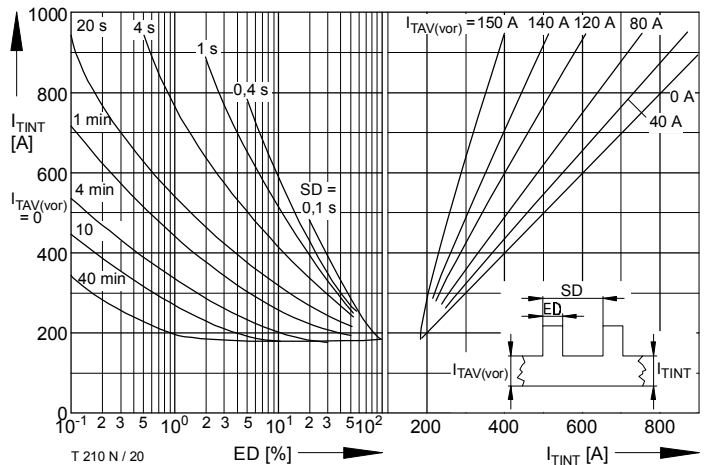
Vorlaststrom / Pre-load current  $I_{TAV(vor)}$ 

Bild / Fig. 20

Höchstzulässiger Durchlaßstrom bei Aussetzbetrieb /

Max. allowable on-state current at intermittent operation  $I_{TINT} = f(ED)$ Verstärkte Luftkühlung / Forced air-cooling,  $t_A = 35^\circ\text{C}$ 

Kühlkörper / Heatsink: KL42

Parameter: Spieldauer / Cycle duration SD

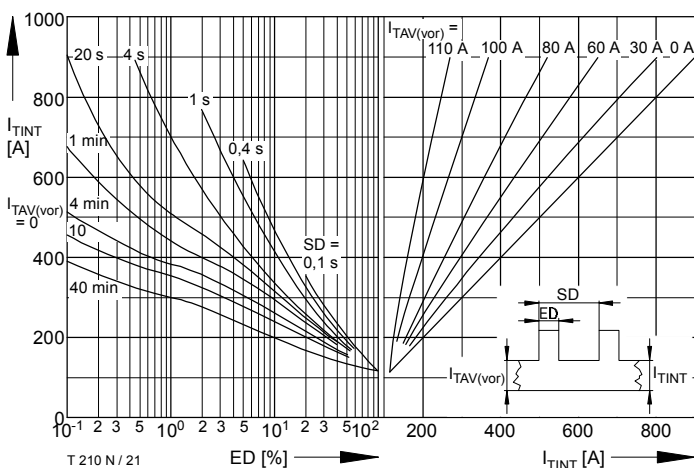
Vorlaststrom / Pre-load current  $I_{TAV(vor)}$ 

Bild / Fig. 21

Höchstzulässiger Durchlaßstrom bei Aussetzbetrieb /

Max. allowable on-state current at intermittent operation  $I_{TINT} = f(ED)$ Luftselbstkühlung / Natural air cooling,  $t_A = 45^\circ\text{C}$ 

Kühlkörper / Heatsink: KL91

Parameter: Spieldauer / Cycle duration SD

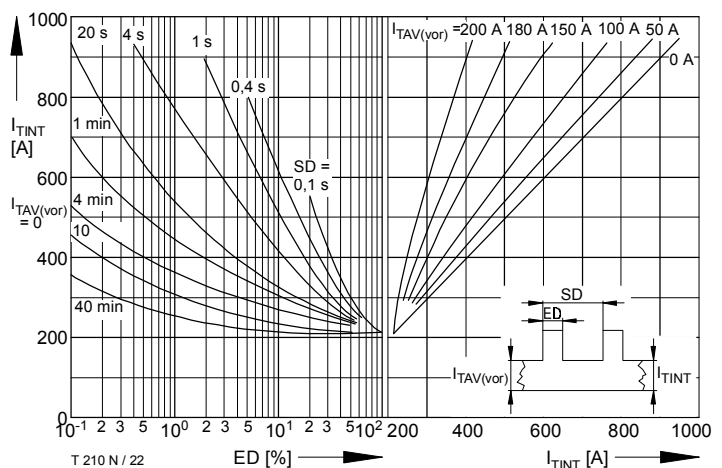
Vorlaststrom / Pre-load current  $I_{TAV(vor)}$ 

Bild / Fig. 22

Höchstzulässiger Durchlaßstrom bei Aussetzbetrieb /

Max. allowable on-state current at intermittent operation  $I_{TINT} = f(ED)$ Verstärkte Luftkühlung / Forced air-cooling,  $t_A = 35^\circ\text{C}$ 

Kühlkörper / Heatsink: KL91

Parameter: Spieldauer / Cycle duration SD

Vorlaststrom / Pre-load current  $I_{TAV(vor)}$

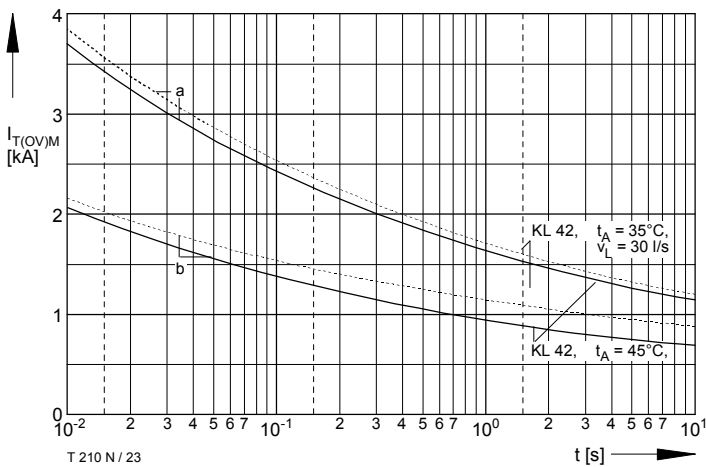


Bild / Fig. 23

Grenzstrom / Max. overload on-state current  $I_{T(OV)M} = f(t)$ ,  $v_{RM} = 0,8 V_{RRM}$ Luftselbstkühlung / Natural air cooling,  $t_A = 45^\circ C$ ,Verstärkte Luftkühlung / Forced air-cooling,  $t_A = 35^\circ C$ 

Kühlkörper / Heatsink: KL42

Belastung aus / Surge current occurs:

a - Leerlauf / No-load conditions

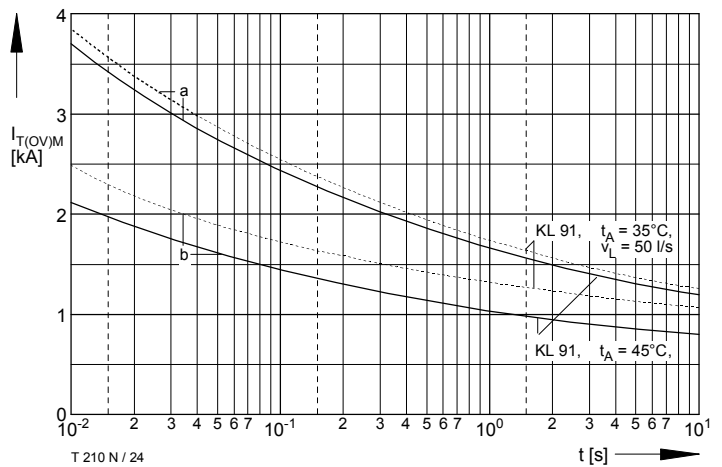
b - Betrieb mit Dauergrenzstrom / During operation at max. average on-state current  $I_{TAVM}$ 

Bild / Fig. 24

Grenzstrom / Max. overload on-state current  $I_{T(OV)M} = f(t)$ ,  $v_{RM} = 0,8 V_{RRM}$ Luftselbstkühlung / Natural air cooling,  $t_A = 45^\circ C$ ,Verstärkte Luftkühlung / Forced air-cooling,  $t_A = 35^\circ C$ 

Kühlkörper / Heatsink: KL91

Belastung aus / Surge current occurs:

a - Leerlauf / No-load conditions

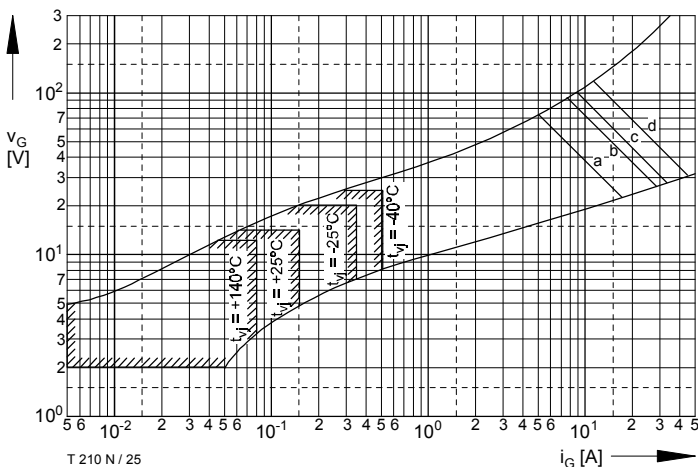
b - Betrieb mit Dauergrenzstrom / During operation at max. average on-state current  $I_{TAVM}$ 

Bild / Fig. 25

Steuercharakteristik mit Zündbereichen / Gate characteristic with triggering areas  $v_G = f(i_G)$ ,  $V_D = 6 V$ 

Parameter:

Höchstzulässige Spitzesteuerleistung

Maximum allowable peak gate power [W]

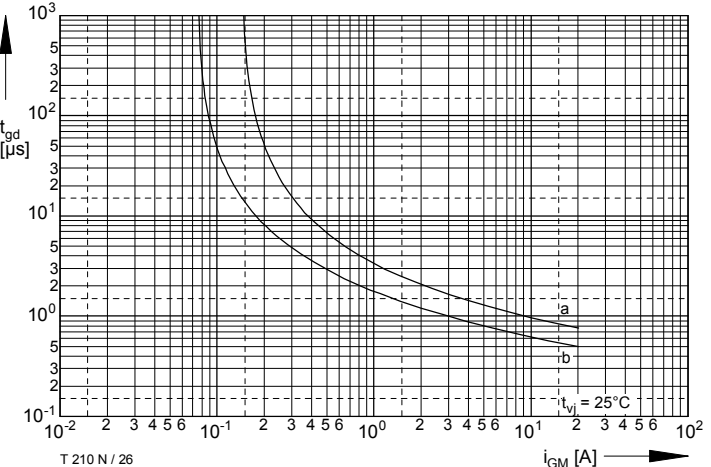


Bild / Fig. 26

Zündverzug / Gate controlled delay time  $t_{gd} = f(i_{GM})$ ,  $t_{vj} = 25^\circ C$ ,  $di_G/dt = i_{GM}/1\mu s$ 

a - Maximaler Verlauf / Limiting characteristic

b - Typischer Verlauf / Typical characteristic

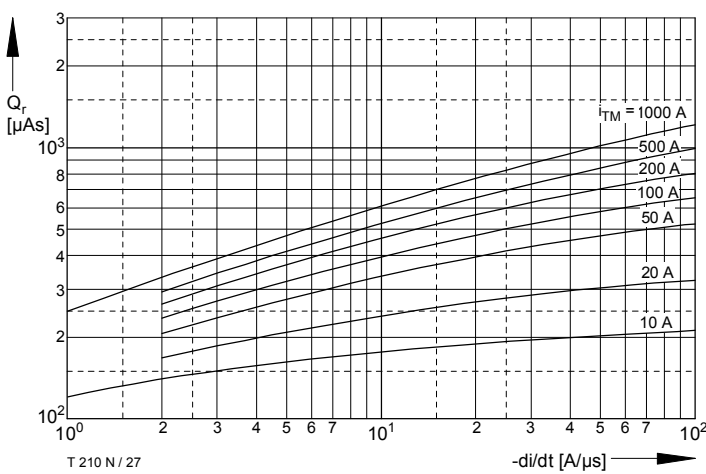


Bild / Fig. 27

Sperrverzögerungsladung in Abhängigkeit von der abkommunizierenden Stromsteilheit / Recovered charge versus the rate of decay of the forward on-state current  $Q_r = f(-di/dt)$  $t_{vj} = t_{vj \max}$ ,  $v_R \leq 0,5 V_{RRM}$ ,  $v_{RM} = 0,8 V_{RRM}$ 

Der angegebene Verlauf ist gültig für 90% aller Elemente / These curves are valid for 90% of all devices

Parameter: Durchlaßstrom / On-state current  $i_{TM}$